

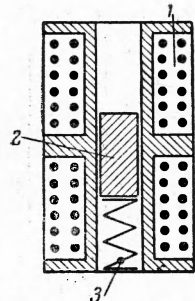
О ВЗРЫВЕ В ПЕСЧАНОМ ГРУНТЕ

В. М. Цветков
(Москва)

Экспериментальное изучение взрыва в мягком грунте проводилось рядом авторов. В работах А. Н. Ромашова, В. Н. Родионова и А. П. Сухотина [1, 2] измерялось перемещение грунта во времени. Г. М. Ляхов [3] и В. И. Кривцов [4] измеряли давление в волне сжатия.

В предлагаемой работе производились измерения скорости перемещения грунта во времени при кумуфлете взрыве заряда взрывчатого вещества (ВВ).

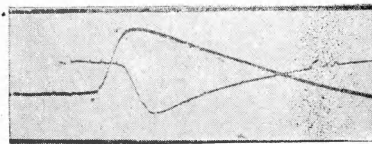
Описание эксперимента. Взрывы зарядов весом $C = 0.49, 1.4, 2.3, 5.5, 24 \text{ г}$ (в пересчете на ТГ 50/50 с удельной теплотой взрыва 1140 ккал/кг) производились в песчаном грунте плотностью 1.7 г/см^3 и влажностью 5%. Измерения выполнялись при помощи датчика, регистрирующего скорость перемещения грунта во времени. Схематический чертеж датчика представлен на фиг. 1. Датчик состоит из катушки 1 и намагниченного сердечника 2, движение которого относительно катушки наводит в ней напряжение. Расположенная под сердечником пружина 3 позволяет измерять скорости перемещения до 1 см/сек . Использованные датчики имели период собственных колебаний $100 \div 150 \text{ мсек}$ и позволяли регистрировать перемещения до 7 мм . Размеры датчика: диаметр 10 мм , высота 20 мм . Датчики тарировались свободным падением. Запись электрического сигнала датчика производилась при помощи осциллографов ОК-24 и ОК-27 (ИХФ АН СССР). Использованная методика позволяла регистрировать волны со временем нарастания до максимума не менее 0.1 мсек .



Фиг. 1

1. Представленная на фиг. 2 типичная осциллограмма скорости перемещения грунта во времени позволяет судить о характере волны, распространяющейся по грунту. Во всем исследованном интервале приведенных расстояний $0.7 < R^\circ < 10$ наблюдается некоторое время нарастания скорости перемещения до максимума. Затем скорость перемещения плавно спадает до нуля. Измерение времени от момента взрыва до момента t_m достижения максимальной скорости перемещений позволяет построить зависимость скорости распространения максимума D_m от расстояния до центра взрыва R . Эта зависимость, представленная на фиг. 3, для всех использованных зарядов описывается следующими эмпирическими формулами:

$$\begin{aligned} D_m &= 193 (R^\circ)^{-0.4}, & 0.7 < R^\circ < 1.6 \\ D_m &= 192 (R^\circ)^{0.05}, & 3 < R^\circ < 10 \\ \left(D_m [\text{м сек}^{-1}], R^\circ = \frac{R}{C^{1/3}} \right) &= \left[\frac{m}{\kappa_2^{1/3}} \right] & (1) \end{aligned}$$



Фиг. 2

В интервале $1.6 < R < 3$ скорость D_m плавно переходит с одной зависимости на другую.

Таким образом скорость распространения максимума при удалении от центра взрыва сначала падает, перейдя через скорость звука, равную $\approx 215 \text{ м/сек}$, достигает величины $\approx 160 \text{ м/сек}$, а затем начинает возрастать и выходит на скорость звука. Начало перемещений грунта при этом распространяется со скоростью, равной скорости звука.

Такой характер изменения скорости распространения максимума с расстоянием вполне очевиден, если представить процесс сжатия грунта в волне упруго-пластическим.

2. Результаты измерений максимальной скорости перемещения грунта v_m от обратной величины приведенного расстояния представлены на фиг. 4, где зачерненные точки относятся к заряду 24 г ; зачерненные наполовину — 5.5 г ; незачерненные — 1.4 г ; кресты прямые — 2.3 г ; кресты косые — 0.49 г . Как видно из графика, все экспериментальные точки ложатся на одну зависимость, которую можно описать следующими эмпирическими формулами:



Фиг. 3

$v_m = 10 (R^\circ)^{-3}$ $(0.7 < R^\circ < 3)$
 $v_m = 2.6 (R^\circ)^{-1.75}$ $(3 < R^\circ < 10)$

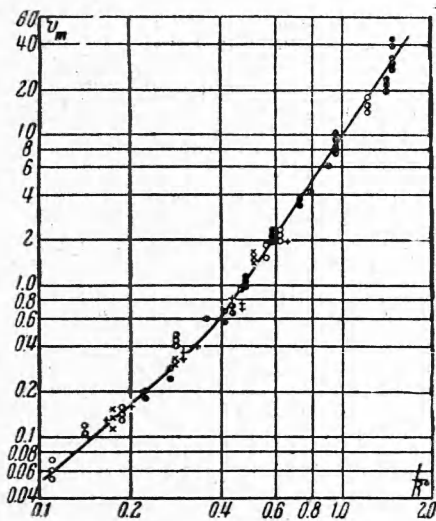
$(v_m [\text{м/сек}])$ (2)

Сравнение наших результатов с экспериментальными данными [1, 2] показывает

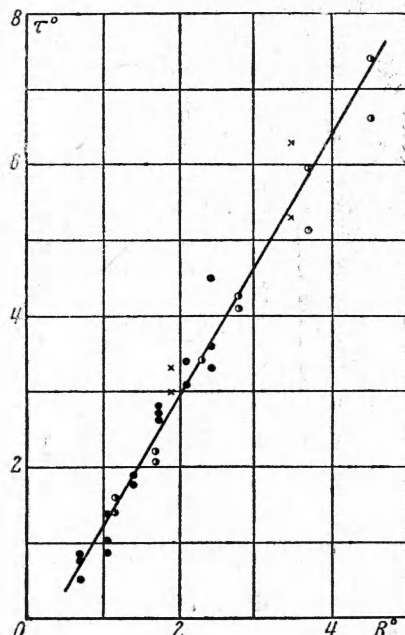
значительное расхождение. При этом полученные скорости перемещения на расстояниях $R^{\circ} < 3$ оказываются не только больше, но и меняются с расстоянием по другому закону.

Это расхождение объясняется следующим. В работе [1] измерялись перемещения грунта во времени. Последующее дифференцирование зависимости перемещений — время — давало величину скорости перемещений. При этом авторы исходили из предположения, что фронт волны сжатия ударный, а максимальная скорость перемещений достигается в момент начала перемещений.

Поэтому за величину максимальной скорости перемещений в [1] брали наклон зависимости перемещения — время в начальный момент.

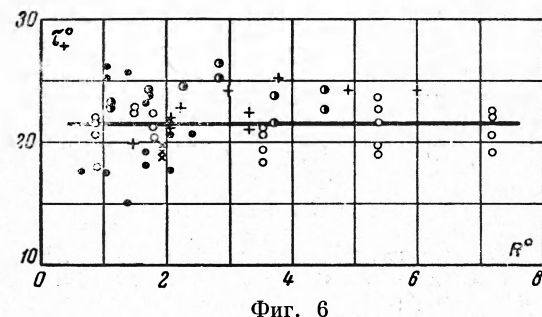


Фиг. 4



Фиг. 5

Из приведенных результатов вытекает, что максимальная скорость перемещения достигается не в начальный момент, а некоторое время спустя. Поэтому зависимость перемещения — время — должна иметь перегиб в момент времени, соответствующий достижению максимальной скорости.



Фиг. 6

В работе [1] этот перегиб не регистрировался из-за большого разброса точек. На фиг. 5 показана зависимость приведенного времени нарастания скорости перемещения τ_m^o до максимальной величины. Эта зависимость описывается следующим соотношением:

$$\tau_m^o = -0.5 + 1.7 (R^o) (\tau_m^o [\text{мсек/кг}^{1/3}]) \quad (3)$$

Экспериментальные результаты по измерению времени положительной фазы движения τ_+^o (от центра взрыва), представленные на фиг. 6 в приведенных координатах, показывают, что в пределах разброса эксперимента все точки ложатся на одну зависимость

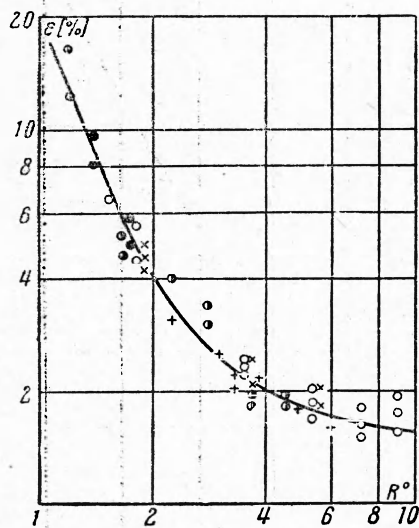
$$\tau_+^o = 21 \quad (\tau_+^o [\text{м сек кг}^{-1/3}]) \quad (4)$$

Таким образом, время положительной фазы движения не зависит от расстояния до центра взрыва, а зависит лишь от величины заряда.

4. Интегрирование осцилограмм скорости перемещений по времени за время t_+ позволяет оценить величины смещенного грунта за время положительной фазы движения. Такая обработка осцилограмм показала, что смещение для всех использованных зарядов в приведенных координатах можно описать формулой

$$\Delta R_+^\circ = 35 (R^\circ)^{-1.8} \quad 2.5 < R^\circ < 10 \quad (\Delta R_+^\circ [\text{мм кг}^{-1/2}]) \quad (5)$$

Смещение грунта ΔR_m° за время нарастания скорости перемещения до максимума описывается формулой



Фиг. 7

Энергия волн с расстоянием свидетельствует о том, что значительная ее доля тратится на необратимые процессы и не совершает механической работы.

Однако, если в зоне $R^\circ < 0.5$ потери энергии, достигающие 70% от E_0 , приводят к значительному нагреванию грунта, как об этом свидетельствуют опыты по измерению температуры грунта после взрыва [2], в области расстояний $R^\circ > 1$, куда передается около 20% E_0 , грунт практически не нагревается.

6. Используя соотношения (1) и (2), можно оценить величины давлений и плотностей, достигаемые в волне сжатия. Считая, что максимальное давление в волне равно

$$\Delta p_m = \rho_0 v_m D_m \quad (8)$$

получаем следующие формулы

$$\Delta p_m = 32 (R^\circ)^{-3.4} \quad (0.7 < R^\circ < 2), \quad \Delta p_m = 10 (R^\circ)^{-1.8} \quad (2 < R^\circ < 10) \quad (9)$$

$$(\Delta p_m [\text{кг см}^{-2}])$$

Подсчитанные таким образом давления с точностью до 5% совпадают с экспериментально измеренными давлениями пьезоэлектрической методикой в таком же по составу песчаном грунте [4].

Используя соотношение

$$\frac{v_m}{D_m} = \frac{\Delta p}{\rho} \quad (10)$$

были получены величины максимальных плотностей, достигаемых в волне сжатия на различных расстояниях, которые описываются следующим выражением

$$\frac{\rho}{\rho_0} = \frac{1}{1 - 0.052 (R^\circ)^{-2.6}} \quad (11)$$

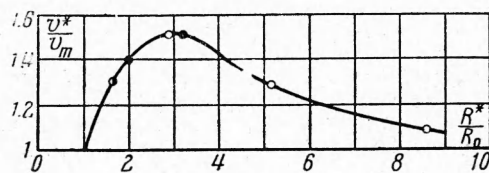
На основании (9) и (11) для сжимаемости грунта получаем

$$\Delta p = 1470 \left(\frac{\Delta p}{\rho_0} \right)^{1.3} \quad (12)$$

Это соотношение, описывающее неупругие деформации грунта, справедливо в диапазоне деформаций $0.01 < \rho / \rho_0 < 0.2$. Упругое сжатие происходит при давлениях до $3 \text{ кг}/\text{см}^2$ и деформациях до 0.005.

Нужно иметь в виду, что формулы (9), (11), (12) являются оценочными, так как получены при помощи соотношений (8) и (10), справедливых лишь для ударного фронта.

7. Для того чтобы оценить влияние начального давления на параметры волны сжатия в песчаном грунте, проводились эксперименты со взрывом заряда ВВ в воздушной полости радиусом R^* . Сравнивались осциллограммы скорости перемещения грунта на одном и том же расстоянии от центра при сосредоточенном взрыве заряда и при взрыве в полости. Эксперименты показали, что в интервале полостей $1 < R^*/R_0 < 10$, где R_0 —



Фиг. 8

радиус заряда ВВ, массовые скорости при взрыве в полости v^* оказываются больше, чем скорости при взрыве сосредоточенного заряда v_m . Причем для каждого заряда ВВ отношение скоростей перемещений v^* и v_m приблизительно одинаково для всех расстояний от центра взрыва. Полученные экспериментальные результаты представлены на фиг. 8 в виде зависимости v^*/v_m от R^*/R_0 .

Этот результат можно объяснить следующим: в ближней зоне для $R^* < 10 R_0$ падение давления с расстоянием в грунте более сильное, чем в воздухе [1], где давление падает по закону $R^{-1.15}$. Поэтому на стенку полости, вероятно, действует давление большее, чем давление на том же расстоянии, но при взрыве сосредоточенного заряда. Следовательно, на всех расстояниях при взрыве в полости $R^* < 10 R_0$ должны действовать давления и скорости перемещения большие, чем при сосредоточенном взрыве.

Форма волны и временные характеристики при взрыве заряда в полости в пределах экспериментального разброса не отличаются от временных характеристик сосредоточенного взрыва.

Автор признателен В. Н. Костюченко за интерес, проявленный к работе, и обсуждение экспериментальных результатов.

Поступила 28 V 1962

ЛИТЕРАТУРА

- Ромашов А. Н., Родионов В. Н., Сухотин А. П. Взрыв в уплотняющейся неограниченной среде. ДАН СССР, 1958, т. 123, № 4.
- Родионов В. Н., Ромашов А. Н., Сухотин А. П. Взрыв в грунте. Уч. совет по народнохозяйственному использованию взрыва. Сб. СО АН СССР, 1959, вып. 2.
- Ляхов Г. М. Ударные волны в грунте и разжижение водонасыщенного песка. ПМТФ, 1961, № 1.
- Кривцов В. А. К вопросу о распространении ударной волны в песчаном грунте. Уч. совет по народнохозяйственному использованию взрыва. Сб. СО АН СССР, 1961, вып. 1.
- Христофоров Б. Д. Параметры фронта ударной волны в воздухе при взрыве зарядов из тэнна и азида свинца разной плотности. ПМТФ, 1961, № 6.